ESTUDO DAS INTERAÇÕES H₂-CATALISADOR DE IRÍDIO PELA TÉCNICA DE TERMODESSORÇÃO PROGRAMADA SOB VÁCUO

R.Frety, H.Charcosset, J.Varloud e G.Leclercq*

Institut de Recherches sur la Catalyse, 2 Av. A. Einstein, 69626 Villeurbanne, França.
*Laboratoire de Catalyse - Université des Sciences et Techniques de Lille, Villeneuve D'Asq.

Através do uso simultâneo de uma técnica de termo dessorção sob vácuo e uma técnica de intercâmbio H₂-D₂, em várias condições, conseguiu-se um modelo de interação do H₂ com catalisadores Ir-Al₂O₃, a temperaturas de 295 e 773 K.

Catalisador, Irídio, Hidrogênio.

1. INTRODUÇÃO

As técnicas usando aquecimento linear de temperatura para seguir a evolução de sólidos, em presença ou ausência de gás, são diariamente utilizadas em química.

Técnicas clássicas tais como a análise termogravimétrica (ATG) ou a análise termodiferencial (ATD) são as mais conhecidas, a análise termomagnética, a dilatometria..., um pouco menos. Entre essas famílias de técnicas, a termodessorção aparece como muito geral. Usada com altas velocidades de aque cimento, ela permite, nos equipamentos de ultravácuo, estimar as interações entre frações de monocamada adsorvida e as superfícies de planos particulares de monocristais(1). Usada com velocidades moderadas de aquecimento, permite descrever algumas propriedades das moléculas adsorvidas sobre superfícies policristalinas ou catalisadores(2). Neste último caso, a termodessorção gerou um melhor conhecimento da interação O_2 -catalisadores óxidos, em relação com a seletividade des-

ses últimos em reações de oxidação parcial; levou, graças ao acompanhamento da dessorção de bases gasosas, à descrição da acidez de catalisadores isolantes (aluminas, silico-aluminatos)(3); permitiu desenvolver modelos de adsorção (dissociativa ou não) para o hidrogênio e para hidrocarbonetos sobre catalisadores metálicos(4).

Entretanto, foi visto que, para catalisadores de Pt suportada, próximos dos catalisadores reais, os espectros de
termodessorção, mesmo de gás simples como hidrogênio, são bas
tante complexos: a natureza do suporte, a dispersão da fase
metálica, a existência de traços de impurezas foram indicadas como capazes de modificar os espectros(5).

O presente trabalho visou separar, experimentalmente, o hidrogênio dessorvido da superfície do metal e o dessorvido da superfície do suporte no caso de dois catalisadores Ir-Al₂O₃. Nessas amostras, a natureza do suporte é diferente enquanto que a dispersão da fase metálica é comparável.

2. PROCEDIMENTO EXPERIMENTAL

2.1-Aparelhagem

O aparelho, construido no laboratório, foi descrito anteriormente(2). É baseado na técnica de termodessorção auxilia da por vácuo $(10^{-5}-10^{-7}$ torr) durante o aquecimento linear de $\sim 10^{\circ}$ C/min. A pressão gasosa e a composição desta fase são acompanhadas por três captores diferentes. Um espectrógrafo de massa quadrupolar(M_1) e um medidor de vácuo de ionização(M_2) são localizados perto da amostra, um medidor Pirani (M_3) para pressões médias é localizado entre uma bomba de difusão de mercúrio e uma bomba rotativa, eliminando os gases com velocidade constante através de um capilar. Várias trapas com nitrogênio líquido permitiram a eliminação da fase gasosa de vapores pesados (H_2 O, HC1, etc).

2.2-Protocolo Experimental

A Fig.1(a,b) mostra as seqüências de tratamento dado às amostras, indicando as temperaturas e a duração de tratamento. No tratamento b, o catalisador reduzido com uma pressão de $\rm H_2$ de 100 torr, a 500 $^{\rm O}$ C, foi evacuado a essa temperatura sob pressão residual de \sim 10 $^{\rm -6}$ torr, resfriado até a tempe

ratura do laboratório, contatado com uma pressão de 100 torr de H₂ e novamente evacuado antes da termodessorção. No trata mento a, o catalisador foi resfriado até a temperatura ambiente sob H₂, evacuado e dessorvido termicamente.

Os tratamentos a e b foram então modificados (Figura 2): a redução a 500° C foi realizada com D₂ e depois de voltar à temperatura do laboratório sob D₂ ou sob vácuo, a amostra foi contatada com H₂ (100 torr). A seguir, um tratamento sob vácuo permite a estandardização, antes da termodessorção.

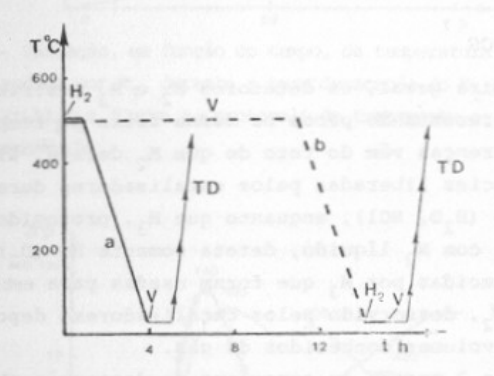


Figura 1 - Protocolo experimental seguido durante o tratamento das amos tras ($\rm H_2$ = tratamento com uma pressão de $\rm H_2$ de 100 torr, V=tratamento sob vácuo de $^{\circ}$ 3 . 10⁻⁶ torr, T.D. = termodessorção sob vácuo).

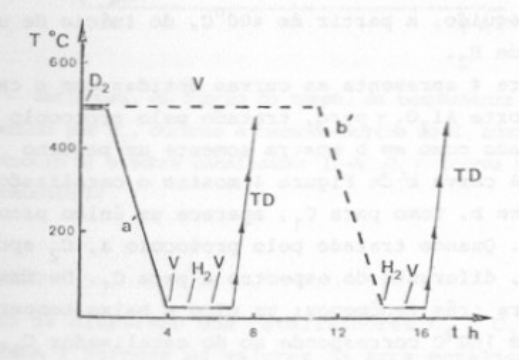


Figura 2 - Protocolo experimental durante o tratamento das amostras com intercâmbio D_2 - H_2 (D_2 =tratamento com uma pressão de D_2 de 100 torr, V, H_2 , T.D. como na Fig.1).

2.3-Os Catalisadores

Os catalisadores contém 2% de Ir em peso. O catalisador C_1 foi preparado por impregnação com H_2 Ir Cl_6 , em uma alumina α (SCS $_9$ - Rhone-Poulenc), de área específica de 9 m $^2g^{-1}$. O catalisador C_2 também foi obtido por impregnação de H_2 Ir Cl_6 em uma alumina γ (Aluminium OXYD C - Degussa), de área específica de 100 m $^2g^{-1}$, não microporosa. Depois da impregnação, os catalisadores foram secos em estufa a 120 $^{\circ}$ C e reduzidos a 500 $^{\circ}$ C sob fluxo de H_2 , antes da estocagem.

3. RESULTADOS

De maneira geral, os detetores M_2 e M_3 mostram curvas parecidas, apresentando picos na mesma faixa de temperatura; pequenas diferenças vêm do fato de que M_2 deteta, além de H_2 , outras espécies liberadas pelos catalisadores durante a termodessorção ($\mathrm{H}_2\mathrm{O}$, HCl), enquanto que M_3 , protegido por várias trapas com N_2 líquido, deteta somente H_2 (D_2). São as curvas fornecidas por M_3 que foram usadas para estimar a quantidade de H_2 , dessorvido pelos catalisadores, depois de calibração com volumes conhecidos de gás.

A Figura 3 mostra os espectros de dessorção obtidos com o catalisador C_1 e os dois tipos de protocolo. Com o protocolo b, o espectro apresenta principalmente um pico com máximo a 140°C, seguido de um ombro perto de 410°C. Com o protocolo a, o pico a baixa temperatura é deslocalizado de 20°C para cima e é seguido, a partir de 400°C, do início de uma nova dessorção de H_2 .

A Figura 4 apresenta as curvas obtidas com o catalisador C_2 e o suporte ${\rm Al}_2{\rm O}_3$ y puro, tratado pelo protocolo a (o suporte tratado como em b mostra somente um pequeno pico a $^{\circ}$ 140°C). A curva b da Figura 4 mostra o catalisador C_2 , tratado como em b. Como para C_1 , aparece um único pico com máximo a 140°C. Quando tratado pelo protocolo a, C_2 apresenta o espectro a, diferente do espectro a para C_1 . De fato, o diagrama mostra três fenômenos: um pico a baixa temperatura, cu jo máximo a 160°C corresponde ao do catalisador C_1 , outro aparecendo à temperatura média de 320°C e um pico mal resolvido entre 430 e 500°C (temperatura limite dessas experiências).

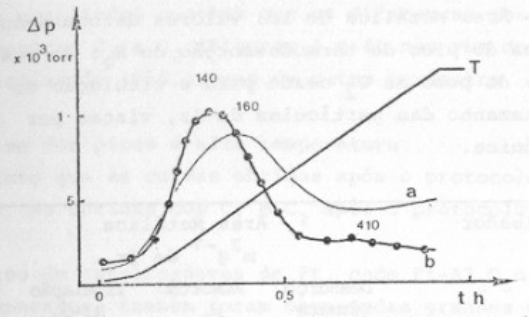


Figura 3 – Variação, em função do tempo, da temperatura (T) e da pressão de $\rm H_2$, medida por $\rm M_3$, durante a termodessorção do $\rm H_2$ adsorvido no catalisador $\rm Ir-Al_2O_3\alpha$ (Curva a = protocolo de tratamento a; Curva b = protocolo de tratamento b).

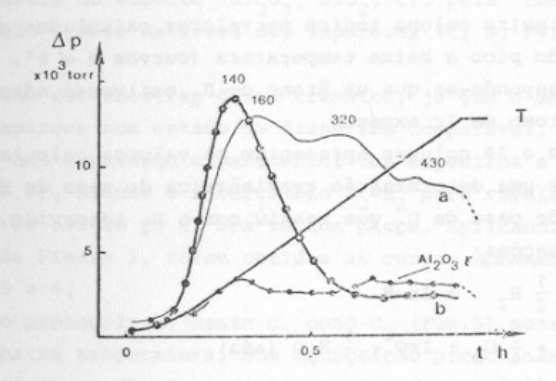


Figura 4 - Variações, em função do tempo, da temperatura (T) e da pressão de H_2 medida por M_3 , durante a termodessorção do H_2 adsorvido sobre $Al_2O_3\gamma$ (protocolo a) e sobre catalisador $Ir-Al_2O_3\gamma$ (curva a = protocolo a; curva b = protocolo b).

4. DISCUSSÃO

4.1-Estudo da dispersão dos catalisadores ${\rm C_1}$ e ${\rm C_2}$ A TABELA I fornece os valores da área metálica do Ir suportado sobre as duas aluminas.

TABELA I - Área Metálica do Ir; valores determinados a partir da área do pico de termodessorção de $\rm H_2$; do peso de $\rm H_2$ adsorvido; do peso de $\rm O_2$ usado para a titulação do $\rm H_2$ adsorvido; do tamanho das partículas de Ir, vistas por microscopia eletrônica.

Catalisador	Área Metálica m ² g ⁻¹ de Ir			
	Dessorção Térmica	Adsorção H ₂	Titulação H ₂ -O ₂	Microscopia Eletrônica
Ir-Al ₂ O ₃ a	160	170	140	190
Ir-Al ₂ O ₃ Y	230	280	180	270

A primeira coluna indica os valores calculados a partir da área do pico a baixa temperatura (curvas b e b', figuras 3 e 4), supondo-se que um átomo de $\rm H_2$ estivesse adsorvido so bre um átomo de Ir exposto.

As 2 e 3 colunas apresentam os valores calculados a partir de uma determinação gravimétrica do peso de $\rm H_2$ adsorvido ou do peso de $\rm O_2$ que reagiu com o $\rm H_2$ adsorvido, admitinado as equações:

Ir +
$$\frac{1}{2}$$
 H₂ + Ir-H
Ir-H + $\frac{3}{4}$ O₂ + IrO + $\frac{1}{2}$ H₂O (ads)

como equações estequiométricas das adsorções(6).

A quarta coluna mostra as áreas metálicas estimadas através da observação, com a microscopia eletrônica (JEM 100 B), das partículas de Ir, seja diretamente (amostra C₁), seja após a dissolução do suporte e observação de réplicas extrativas.

Os valores da TABELA I mostram que:

- (i) a área metálica determinada por cada medida conduz a valores em bom acordo, para cada catalisador
- (ii) as duas amostras C₁ e C₂ têm área metálica próxima, isto é, tamanho de partículas da mesma ordem de grandeza 10 ∿ 15 Å.

Esses resultados sugerem que as diferenças observadas en tre as amostras C_1 e C_2 (Figuras 3 e 4) não vêm do tamanho das partículas de irídio, mas de outro parâmetro.

4.2-Análise dos picos a alta temperatura

Enquanto que as curvas obtidas após o protocolo b são semelhantes, as obtidas com ${\bf C}_1$ e ${\bf C}_2$ após o protocolo a são diferentes.

No caso de catalisadores de Pt, onde Pt-Al $_2$ O $_3$ α e Pt-Al $_2$ O $_3$ γ foram comparados, também foram observadas grandes diferenças nos espectros de termodessorção de H $_2$ (2). Neste caso, não se conseguiu catalisadores com estado de dispersão de Pt vizinho. Mas foi visto logo que, principalmente na faixa 300-500°C, os espectros de termodessorção do H $_2$ podiam ser modificados pela natureza do suporte (Al $_2$ O $_3$, SiO $_2$, C), pela temperatura de adsorção e pela natureza das impurezas (C, S, Fe) do catalisador.

No caso das amostras deste trabalho, já que o metal suportado aparece num estado de dispersão comparável, tentou-se realizar uma separação experimental dos espectros a e b' (Figuras 3 e 4), usando o intercâmbio $\rm D_2-H_2$ para revelar as diferenças de origem do $\rm H_2$ dos vários picos. Aplicando os protocolos da Figura 2, foram obtidas as curvas apresentadas nas Figuras 5 e 6.

Com o protocolo b, tanto C_1 como C_2 (Fig.5) mostram um pico de baixa temperatura, com composição predominante em H_2 e minoritária em HD. Isso implica que a dessorção à $500^{\circ}\mathrm{C}$ sob vácuo de 10^{-6} torr elimina quase todo o D_2 adsorvido e que o D_2 residual facilmente trocável com H_2 , deve ainda ficar localizado no metal (ele pode pré-existir no Ir ou voltar sobre sua superfície durante o resfriamento da amostra sob vácuo). É interessante indicar que C_1 e C_2 se comportam de maneira semelhante.

A Figura 6 apresenta as curvas obtidas com as amostras C_1 e C_2 e os tratamentos a' da Figura 2. Olhando o espectro I (amostra C_1), nota-se que o pico à baixa temperatura contém quantidades iguais de H_2 e HD e uma quantidade limitada de D_2 ; para temperatura maior que 300° C, HD e D_2 têm preponderância. Isto implica que, durante o resfriamento, a superfí-

cie do metal satura-se com D_2 , assim como parcelas do suporte. Uma fração de D_2 adsorvido no metal pode ser, à temperatura ambiente, deslocalizada por H_2 ; uma segunda fração pode ser trocada enquanto que a terceira não é alterada. Como a proporção de H_2 , D_2 e HD é modificada às temperaturas de dessorção maiores, o D_2 e HD detetados não vem do metal, mas só podem vir do suporte. Neste caso, D_2 é difícil de ser deslocalizado e somente uma troca parcial pode ser observada.

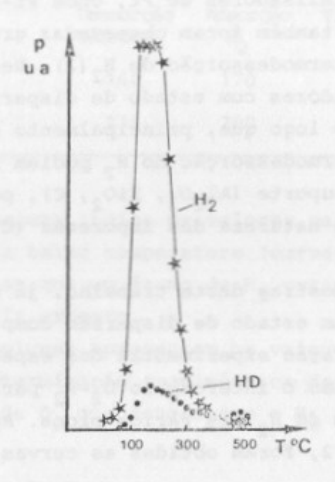


Figura 5 - Acompanhamento, por espectrografía de massa, dos gases dessorvidos do catalisador Ir-Al₂O₂γ, após o tratamento b'.

A Figura 6 (II) (catalisador C_2) é mais complexa ainda e mostra os três picos já vistos na Figura 4. O pico a baixa temperatura " H_2 " vem do metal: o D_2 presente sobre o Ir, no resfriamento, foi parcialmente eliminado e deslocalizado, como no caso I. O pico a alta temperatura, D_2 puro, só pode vir do suporte enquanto que, para o pico a temperatura média, duas hipóteses devem ser consideradas:

- este pico médio vem da adsorção de H₂ num lugar particular do catalisador (interface Ir-suporte, por exemplo). Dois argumentos refutam esta hipótese. Este pico não aparece para o catalisador C₁, enquanto que as zo-

- nas de interação metal-suporte são da mesma importância; além disso, nota-se que a forma do pico é complexa, apresentando ombros, indicando que ele não é produzido por um fenômeno monoenergético;
- o pico médio seria produzido por fenômenos de adsorção-dessorção durante o aquecimento: nesta faixa de temperatura, os últimos ${\rm H_2}$ dessorvidos do metal poderiam interagir com o ${\rm D_2}$ adsorvido no suporte e sair no estado HD; da mesma maneira, o ${\rm D_2}$ presente no suporte teria mobilidade suficiente para voltar sobre o metal e recombinar-se com o ${\rm H_2}$ residual.

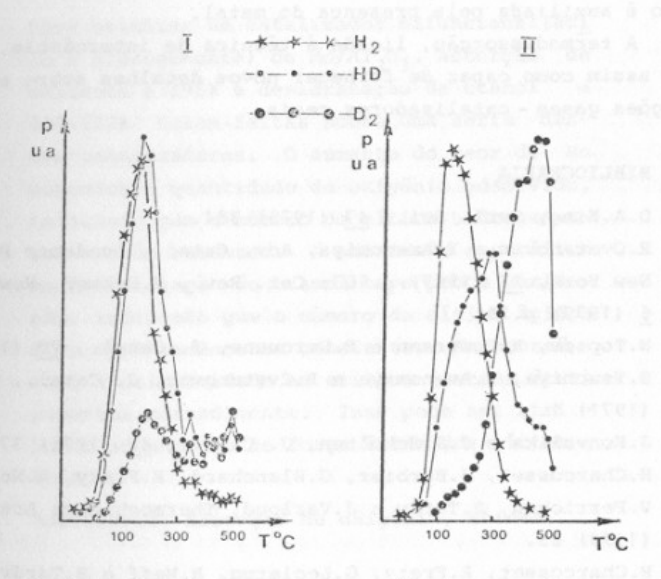


Figura 6 - Acompanhamento, por espectrografía de massa, dos gases dessorvidos do catalisador Ir-Al $_2$ O $_3$ α (parte I) e do catalisador Ir-Al $_2$ O $_3$ γ (parte II), após o tratamento a'.

Este modelo está de acordo com o fato de que a alumina α não provoca esta situação; de fato, o D $_2$ adsorvido no suporte deve ser (se for eliminada a possibilidade de "spillover"(7)), na forma O-D, ligado a Al $^{3+}$ da superfície. A concentração desses OD (OH) é bem maior sobre aluminas de transição do que sobre alumina α (8). Este modelo concorda também com o fato

de que um teor maior de ${\rm H_2O}$ (${\rm D_2O}$) é detetado na fase gasosa no caso do catalisador ${\rm C_2}$, em comparação a ${\rm C_1}$.

5. CONCLUSÕES

Este trabalho mostra que a interação de $\rm H_2$ com catalisador $\rm Ir-Al_2O_3$ é muito complexa. Além do $\rm H_2$ adsorvido sobre o metal, há formas de $\rm H_2$ adsorvido nos suportes: enquanto que o primeiro $\rm H_2$ é facilmente deslocalizado e trocado por $\rm D_2$, a segunda forma dessorve-se no estado. As aluminas de grande área e de grande potencial de fixação de OH adsorvem maiores quantidades de $\rm H_2$ do que as de superfície menor; esta fixação é auxiliada pela presença do metal.

A termodessorção, ligada à técnica de intercâmbio, apare ce assim como capaz de fornecer novos detalhes sobre as interações gases - catalisadores reais.

6. BIBLIOGRAFIA

- 1. D.A.King, Surf. Sci., 47 (1975) 384.
- R.Cvetanovic e Y.Amenomiya, Adv. Catal., Academic Press, New York, 17 (1967) p.103; Cat. Rev., M.Dekker, New York, 6 (1972) p.21.
- 3. N. Topsøe, K. Pedersen e E. Derouane, J. Catal., 70 (1981) 41.
- S.Tsuchiya, Y.Amenomiya e R.Cvetanovic, J. Catal., <u>20</u> (1971) 1.
 - J.Konvalika e J.J.Scholten, J. Catal., 48 (1977) 374.
- H.Charcosset, J.Barbier, G.Blanchard, R.Frety, B.Neff, V.Perrichon, B.Tardy e J.Varloud, Thermochimica Acta, <u>28</u> (1979) 85.
 - H.Charcosset, R.Frety, G.Leclercq, B.Neff e B.Tardy, C.R. Acad. Sci, 283, Série C (1976) 331.
- L.Tournayan, H.Charcosset, R.Frety e G.Leclercq, Actas do 59 Simpósio Iberoamericano de Catálise, M.F.Portela e C.M. Pulido Ed., 2 (1979) p.183.
- S.J.Teichner, Nato Advanced Study Institute, "Surface Properties and Catalysis by non Metals: Oxides, Sulfides and other Transition Metal Compounds", Sept. 1982, Lille.
- K. Tanabe, Solid Acids and Bases, Their Catalytic Properties, Kodansha, Tokyo (1970).